

油开关試驗

湖南省電業局中心試驗所編

*

1552D442

水利电力出版社出版(北京西直門科學路二號)

北京市審刊出版業營業許可證出字第105號

水利电力出版社印刷厂排印 新华书店发行

*

787×1092_{1/16}开本 * 1/16印張 * 9千字

1958年11月北京第1版

1958年11月北京第1次印刷(0001—5,100册)

统一書号：15143·1219 定价(第9类)0.04元

油开关試驗

湖南省電業局中心試驗所編

水利电力出版社

出版者的話

电气设备的試驗是保証安全运行的重要条件之一。目前，大批新的設備投入了运行，并且还有更多的設備將繼續安裝好投入运行；从事电力工业的工作人员队伍，也将随着設備的增加而扩大。但在以前的出版物中，却找不到一套完整的有关試驗方法的参考資料，以致使現場工作人员因資料零散而感到工作不便，新参加工作的人員更因缺乏参考物而使工作难以开展。

湖南省電業局中心試驗所于1958年編制了一套較完整的电气设备的試驗方法資料，虽然內容有些地区局限性，但因包括了各主要电气设备的試驗方法，所以对其他各省和自治区的中小型电厂和供电單位來說，仍然有着参考价值。出版者从湖南電業局的資料中選擇了6冊公开出版，希望能对中小型电厂和供电單位有所帮助。出版的資料名称列下：

1. 电气设备檢驗条例；
2. 同期发电机試驗；
3. 电力变压器試驗；
4. 油开关試驗；
5. 接地电阻試驗；
6. 閥型避雷器試驗。

油开关試驗方法

本試驗方法如在“絕緣、理論及預防性試驗方法”內已述及者，不再重述。試驗項目及標準可參考“電氣設備檢驗條例”。

(一) 絶緣电阻的測定

(1) 每相獨立的油开关只測帶電部分，對外殼的絕緣電阻，在合閘及拉閘兩位置下分別測定。

三相在同一油桶內的油开关，其值為一相對其他兩相接地，並在合閘及拉閘兩位置下分別測定。

(2) 在落下油桶時，應分別測定靜止部分與移動部分的絕緣電阻。

(二) 絶緣油試驗

(1) 只有在絕緣油試驗合格後，方進行主絕緣的分析試驗(貧油式开关例外)。

(2) 貧油式开关由於在大修時需全部更換，故只對新油進行試驗。

(三) 工頻耐壓試驗

(1) 油开关只有在油面符合規定，油耐壓合格時，才進行耐壓試驗。

(2) 其他如介損、泄漏試驗雖顯示不良，經檢查未明顯發現缺陷時，應以耐壓試驗作最後檢查。

(四) 接觸電阻試驗

(1) 用電流表與毫伏表測量最為方便，電流表可用0—10—

20安左右量程；毫伏表用0—15—60毫伏左右量程。

(2)接触子接触面有油污会引起很大誤差，必須注意。

(3)接触电阻过大將引起运行中局部过热，甚至会引起接点的溶化，故必須予以消除。

(4)接触电阻过大，除(4)中(2)所述情况外，若机械压力方面調整适当，一般为接触面氧化所致。

(五) 接触子各相閉合与分开的同时性測定

(1)油桶不放下时，使用三灯結綫图；油桶放下时，使用六灯結綫图。

(2)試驗是用手动操作轉动裝置，使接触子緩緩接触与离开。

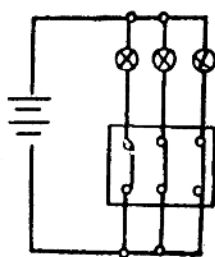


图1 三灯結綫

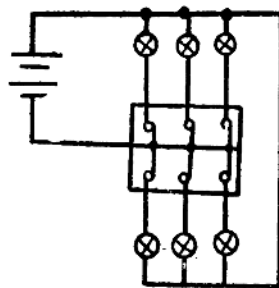


图2 六灯結綫

(六) 开关合閘及跳閘時間測定（由結脉冲电流起至开关主触头閉合或断开的时间）及其速度的測量

对保証高压开关的可靠运行來說，跳合閘的时间与速度是很重要的。各种类型的开关只有在符合其出厂檢驗証或制造厂

說明書所規定的特性以後，才能投入運行。

接觸子在接觸(合閘)和分開(跳閘)的瞬間，應當具有說明書上所要求的橫梁移動速度。這對於開關來說是特別重要的。

如果跳閘速度小於規定值，那末當短路跳閘時，電弧的燃燒時間便增長，這就會造成開關接觸子的熔化。油的大量分解和瓦斯的猛烈排出；油隨之從油箱內噴出，而且在某些情況下，可能使開關受到損壞。

減低接觸子在合閘瞬間的合閘速度，將會引起接觸子的振動或停滯於合閘狀態。這就會使接觸子燒壞，並熔在一起。

保持跳合閘所需的时间，對繼電保護裝置和自動重合閘裝置的動作以及系統的穩定性來說是非常重要的。

要測定跳合閘時間及其速度，可用周波計算器(或電秒表)及示振器來進行。

由於用周波計算器的測定法只能量出從脈衝電流起到接觸子開始接觸(合閘)或離開(跳閘)的總時間，它只能表示，這一行程內的平均速度，並且不能表示接觸子接觸後(合閘)或離開後(跳閘)的情況。

示振器能夠測出橫梁移動的整個過程，並表示出各段的速度，但它不給出從脈衝電流起到橫梁開始移動的一段時間。故上述兩種方法應結合使用，才能得出開關時間、特性較完整的數據。

(1) 跳合閘時間的測定，試驗可照圖3所示結構進行。

當四聯刀閘向右合時，測定跳閘時間；向左合時，測定合閘時間。

為了簡化接線，虛線以內部分可作成操作盤，自各接線柱引入引入線。

四聯刀閘須按牢固，刀片在合閘時，操作要快。為了避免

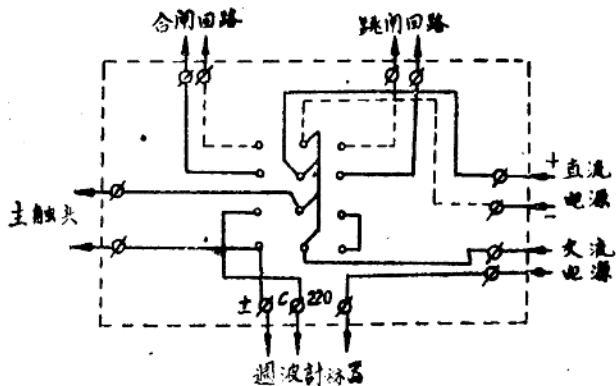


图3 用週波計器測量跳閘時間接線圖

切斷电源，引起电弧燒伤刀口，跳閘合閘回路接綫，力求利用原来接綫原理，即回路电流之断开由开关口的辅助接点担任。

(2) 开关跳合閘触头的行程特性用电磁示振器来测定。茲分別就其結構、动作原理、使用及分析方法叙述如下。

結構(見图4)：由振动子A、铁芯B、线卷C、铅笔D、电源切

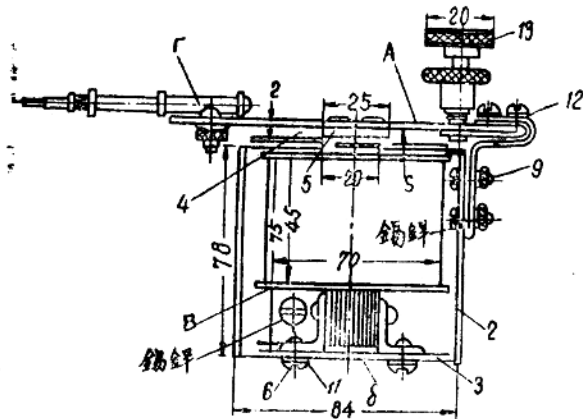


图4 开关行程測定器的結構

換开关等組成。

綫卷B及鐵芯B用来产生磁力，吸引振动子A，振动子A的一端附有鉛筆Γ，另一端有彈簧片，与振动器外壳相連接，振动子A振动后，鉛筆Γ即能在移动的紙条上画出波形(見附录1)。

动作原理：当綫卷接通时，若电源为50週工頻电源，则振动子A的振动频率为100週，其原理如图5所示。

由图5可看出，振动器频率为电源的二倍，若电源週期为0.02秒，则振动器週期为0.01秒。

使用及分析方法：

图 5

一、振动器本身的調整：

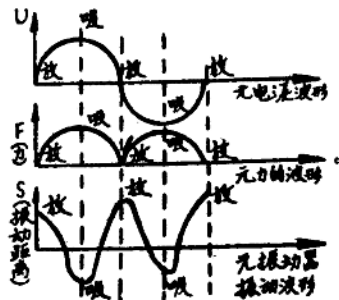
振动子振幅的大小視实际情况而定（速度高振幅大，速度低振幅小），总之以力求清晰便于分析为原則。

为了适应电源电压，可倒换电压，切換开关(110—200伏)。

二、如何利用振动器測定开关触头的速度：

(1)直接測量法：將紙帶直接固定在帶有接点的橫担絕緣拉杆上，振动器固定在紙帶的侧面如图6所示。在这种情况下，振动波形图的長度將等于橫担的行程D。为了使記錄完整，紙帶的寬度約20—40毫米，長度应大于橫担的行程D約20—40毫米。

利用这种方法測定时，必須打开油箱才能安裝振动器和紙帶，同时需要將油箱中的油抽出。但是在抽出油后，測量所得的速度要比有油时快，对于三相的开关，若其中一个油箱中的油被抽出，则測得的速度將快5—8%；对于單油箱者，则快



15—25% (参阅“力能”杂志 1955年, 第一期)。

(2)間接測量法：即間接的測量高壓开关的速度，例如將紙帶固定在傳動杆上或套管上（如APF开关），即可測得與橫擔移動速度相應的振动波形圖。以上兩種情況的振动器及紙帶的具體安置方法如圖7、8所示。圖7為MKII型油开关中振动器及紙帶的固定法。圖8為APF空氣开关的振动器及紙帶的固定法。

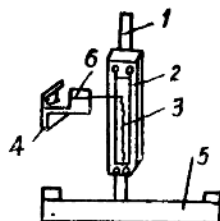


图 6

1—絕緣拉杆；2—膠木板；
3—振动波形图；4—振动器的支架；
5—橫担；
6—振动器。

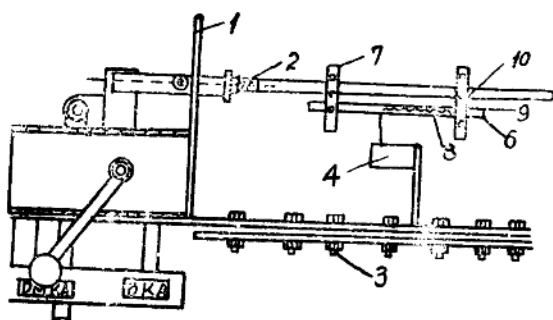


图 7

1—傳動機構箱的外殼；2—傳動機構的鐵拉杆；3—機構箱上的螺絲；4—振动器；5—振动器的支架；6—紙帶頭；7—端子壓緊螺絲；8—帶金屬板的紙帶；9—護環；10—護環的螺絲。

使用間接測定法時，振动波形圖的紙帶需要分段。在測量前可緩慢的手動合閘，對應開關觸頭的欲測速度的行程位置，在紙條上畫出兩直線，如a,b所示。這樣即能求得欲測觸頭某階段的速度。

(3) 注意事項：

①对于油开关，应在开关注滿油时（否則測定的結果按以上所說的情况考慮之），周圍溫度為 $15-35^{\circ}\text{C}$ （因油的粘度与溫度有关）、直流操作电压为額定电压时进行。

②对于压缩空气开关，应在額定气压下和額定直流操作电压下进行。

③若制造厂对开关有具体規定时，可按制造厂的規定進行之。

④在測定以前，对于触头的行程，包括触头的接触行程，触头在消弧室內的行程和油絕緣中的行程，以及緩冲行程等，应实际加以測量。

⑤振动器及紙帶固定完善后，先將振动器的电源給上，然后操作开关，待开关动作完毕后，再拉开振动器电源。

三、振动图的分析：

以下面兩振动图作例，加以說明：

$$\text{开关触头行程 } D = a + b + c + d$$

式中 a ——可动触头及固定触头处在接触状态中的行程；

b ——在消弧室內的行程；

c ——油絕緣物中的行程；

d ——緩冲行程。

(1)为了决定可动触头在任何一段時間內的平均速度，需将該段的行程 d 被該段对应的时间 t 除。

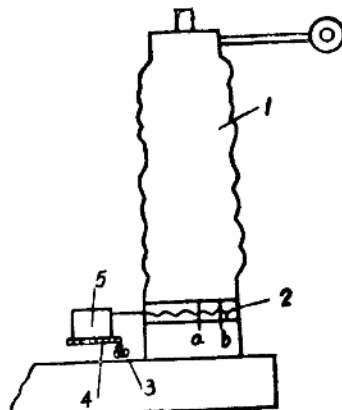


图 8

1—套管；2—紙帶；3—APF蓋上的
螺絲；4—支架；5—振动器。

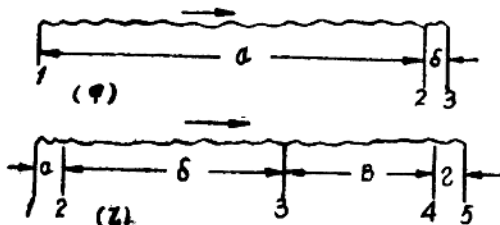


图 9

甲)合闸振动图

1—横担起始位置；2—触头接触的瞬间；3—合闸位置；
合闸时触头行程 $D = a + b$ (其中 b 为触头接触行程)。

乙)开闸振动图

1—合闸位置；2—可动触头与固定触头分离瞬间；3—可动触头离开消弧室的瞬间；4—开关位置；5—缓冲终点。

$$V_{\text{平均}} = \frac{d(\text{公尺})}{t(\text{秒})}$$

$$t = \pi \times 0.01$$

式中 π ——該行程內之周波数
(如图10所示, $\pi = 5$)。

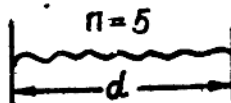


图 10.

(2) $V-d$ 曲綫的繪制：令行程为 π 等分 ($\pi=8-10$)，算出各等分內之平均速度，取座標紙繪出下面的曲綫，由曲綫上能找出任一点的速度，并能明显看出速度隨行程的变化情形。

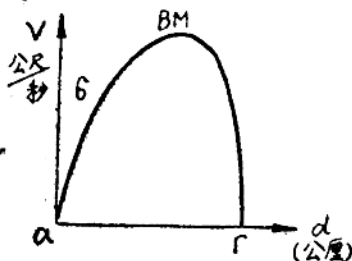


图 11

如a一起始点；

6—可动触头与固定触头分离瞬间的速度；
B—可动触头离开消弧室瞬间的速度；

r—横担停止位置。

(3) $d-t$ 曲线的绘制：在振动图内，任取数点（约8—10点），取各点对应的行程与时间，画入坐标纸内，如12图所示。

在图内各点的斜率即为该点的瞬时速度。

a, b, c, d 各点意义同前。

t_1 为触头自开始移动至离消弧室的时间；

t_2 为自触头开始移动到完全停止的全部时间。

(4) 决定自触头开始移动到完全停止的全部时间 t 。

Π 为整个行程内的周期数。

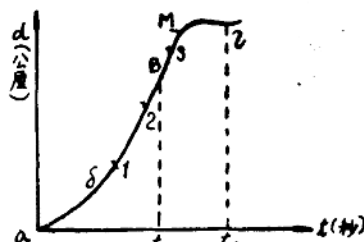
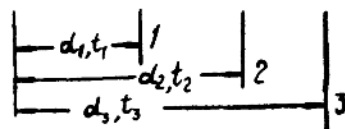


图 12 $\tau = \Pi \times 0.01$

(5) 求出开合闸过程中最大速度和合闸时触头接触时的瞬时速度及开闸触头分离瞬间的速度。这些速度均能在 $V-d$ 曲线上求得。

同样在 $d-t$ 曲线上，对应各点的斜率即为该点的瞬时速度，以上二曲线随需要绘制一种或二种。

优缺点：

优点：一、构造简单。二、动作可靠。三、试验方法简单，无须专人进行试验。四、便于携带。

缺点：一、由于压铅笔的弹簧压力不匀，故画出波形深浅不一，计算周期费力，易造成误差。

二、在开闸时，由于缓冲作用，波形重迭，不易分清终止点（在开闸过程中此点无多大关系）

附录一

示振器电气施工说明：

- (1) 匝数：共繞捲兩個，每個繞1350匝。
- (2) 線徑：用 $0.44m/m$ 漆皮線繞制。
- (3) 繞線方式：兩綫卷繞于同一電木壳上，繞成里外兩個。

(4) 絶緣方式：電木壳上先繞三層 $0.15m/m$ 絕緣紙，繞里層綫卷時，每層均墊一層 $0.05m/m$ 絕緣紙。第一層繞完後，繞三層 $0.15m/m$ 絕緣紙，再繞外層綫卷，每層均墊一層 $0.05m/m$ 絕緣紙，繞完再繞兩層 $0.05m/m$ 絕緣紙，尾端用漆片漆沾牢，外包一層絕緣綢，內沾一

紙，注明綫徑及卷數。

- (5) 引綫方式：用化學軟綫穿壳而出。

(6) 連綫方式：如图
13，需注意極性。

(7) 絶緣数据：

- ① 2000伏50周耐压一分鐘；

② 用1000伏迈格表測量，不得小于50百万歐姆。

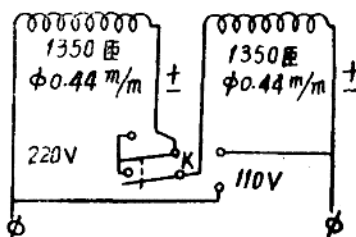


图 13

K—双刀双投开关；Φ—接线端子。

附录二

开关跳合闸触头行程特性参考数值

对于旧式开关，試驗規格无标准，有待今后研究决定，若有制造厂說明書者，可作参考。

苏联各型开关的特性摘录如下

开关的类型	时 间， 秒			速度，公尺/秒				
	合 閘	跳 閘	自給脈冲电流起	合 閘	跳 閘			
	至横梁停止时 接 触	至接触子分开关的瞬间 触 子	接触子分开关的瞬间 接 触	最大速度 度	接触子分开瞬间 开 闊			最 大 度
BMP-133, BMP-122	0.23	0.18	0.2	0.1	--	--	1.5~1.7	3.5
MKII-35	0.4~0.45	0.2	0.38~0.43	0.05	1.5~2.1	2~2.5	1.5~1.7	2.8~3.5
BM-16	0.25	0.14	0.24	0.12	1.65	1.65	1.24	2.2
BMB-10	0.3		0.25~0.3	0.06			1.4	2.6
BM-22H	0.26	0.18	0.24	0.15	1.52	1.75	1.1~1.3	1.4~1.7
BM-23H	0.32	0.2	0.28	0.15	1.75		1.75	
MPII-10	0.48		0.42	0.11	1.65	1.7	1.7	2.0
MGP-229	0.7	0.24	0.65	0.15	1.8		1.5	1.8
BMД-35	0.27	0.2	0.18	0.06	1.7~2.0		1~1.2	2.5
MP-35	0.24	0.166	0.23	0.06	1.96	2.51	2.06	2.4
MKII-160	0.84	0.37	0.8	(0.13) 0.07	2.4	3.1	2	(2.8)
MKII-110	0.55	0.5	0.5	0.04	1.8	3.3	1.5~1.7	2.7~3
MKII-274	1.1	0.75	0.9~1	(0.14) 0.06	2.5~3		2.1~2.5	3.2

注：1.括弧内包括了接触子从消弧室离开的时间数值。

2.和上表标准值相差误差、时间不得大于±20%，速度不得大于±20%。